

СРАВНИТЕЛЬНЫЙ АНАЛИЗ РАЗНОСТНОГО И ВЕРОЯТНОСТНОГО МЕТОДОВ ИССЛЕДОВАНИЯ МАТЕМАТИЧЕСКОЙ МОДЕЛИ, ПОСТРОЕННОЙ НА ДИФФЕРЕНЦИАЛЬНЫХ УРАВНЕНИЯХ В ЧАСТНЫХ ПРОИЗВОДНЫХ

Сушина А.Д.

Московский государственный технический университет им. Н.Э. Баумана
студентка кафедры «Программное обеспечение ЭВМ и информационные технологии»

e-mail: nastya.sushina@yandex.ru

Аннотация:

Ключевые слова: математическая модель, дифференциальные уравнения, уравнения в частных производных, сравнительный анализ, разностный метод, вероятностный метод, задача теплопроводности, продольно-поперечная схема, метод Монте-Карло.

Актуальность проблемы. Значительное число задач физики и техники приводит к линейным и нелинейным дифференциальным уравнениям в частных производных. [1] Обычно решение во многих случаях является весьма трудоемким. [4] Для сложных математических моделей аналитические решения удается получить сравнительно редко. Поэтому среди приближенных математических методов основными методами решения задач являются численные. Эти методы позволяют добиться хорошего качественного и количественного описания исследуемого процесса или явления.

Не вызывает сомнения, что решение задач физики и техники является острой темой для изучения, и поиск наиболее подходящего метода решения является важной задачей. Поиск такого метода не может быть произведен без сравнительного анализа доступных методов решения задачи.

Наиболее распространенными подходами к решению задач данного типа являются разностные и вероятностные методы. Первый позволяет сводить приближенное решение уравнения в частных производных к решению систем алгебраических уравнений. [1] Второй основан на математическом аппарате теории вероятностей.

Исходя из вышесказанного, можно сделать вывод, что необходимость в сравнении методов исследования математической модели, построенной на дифференциальных уравнениях в частных производных, существует.

Целью данной работы является проведение сравнительного анализа разностных и вероятностных методов исследования математической модели, построенной на дифференциальном уравнении в частных производных.

Основные задачи:

1. изучить достоинства и недостатки разностных методов на примере поперечно-продольной схемы;
2. изучить достоинства и недостатки вероятностных методов на примере метода Монте-Карло;
3. сравнить методы и сделать выводы о применимости данных методов для решения различных задач.

Объектом исследования являются методы исследования математических моделей.

Предметом - отличия методов и их применимость для решения конкретных задач.

Постановка задачи. Рассмотрим следующую задачу: имеется тонкая прямоугольная пластина размерами $a \times b$. Температура по толщине пластины (третьей координате) принимается постоянной. Её двумерное температурное поле $u(x, z)$ описывается математической моделью:

$$\frac{\partial}{\partial x} \left(k(x, z) \frac{\partial u}{\partial x} \right) + \frac{\partial}{\partial z} \left(k(x, z) \frac{\partial u}{\partial z} \right) + f(x, z) = 0 \quad (1)$$

Функция $f(x, y)$ представляет внутренние объемные источники тепловыделения, например, за счет поглощения излучения в полупрозрачном материале пластины. Можно считать, что пластина охлаждается воздухом или водой, температура которых равна u_0 . k является коэффициентом теплопроводности материала пластины.

Краевые условия задачи заданы следующим образом:

$$\begin{cases} x = 0, u(0, z) = u_0 \\ x = a, u(a, z) = u_0 \\ z = 0, u(x, 0) = u_0 \\ z = b, u(x, b) = u_0 \end{cases} \quad (2)$$

Метод установления. Математическая модель (1), описывающая стационарную задачу, является дифференциальным уравнением эллиптического типа. Для его численного решения используем метод установления, заключающийся в преобразовании стационарной задачи в нестационарную. Добавим фиктивную производную по времени:

$$\frac{\partial u}{\partial t} = \frac{\partial}{\partial x} \left(k(x, z) \frac{\partial u}{\partial x} \right) + \frac{\partial}{\partial z} \left(k(x, z) \frac{\partial u}{\partial z} \right) + f(x, z) \quad (3)$$

Если при численном решении уравнения (3), описывающего нестационарную задачу, использовать граничные условия (2), т. е. граничные условия, не зависящие от времени, то при стремлении времени к бесконечности, производная по времени будет стремиться к нулю, а решение нестационарной задачи (3) — к решению $u(x, z)$ стационарной задачи (1). [2]

Решение разностным методом. В качестве примера разностного метода была взята продольно-поперечная схема.

Применение разностного метода начинают с построения разностной сетки, представляющей собой множество точек (узлов), образованных пересечением систем линий. Сетку можно представить как совокупность узлов, лежащих на строках $i_2 = 0, 1, \dots, N_2$ или как совокупность узлов, расположенных на столбцах $i_1 = 0, 1, \dots, N_1$.

Если на каждой строке или столбце решать задачу методом прогонки при фиксированном i_1 или i_2 , то для нахождения результата во всех узлах сетки потребуется число $O(N_1 N_2)$ арифметических действий, пропорциональное числу узлов двумерной сетки. Основная идея состоит в последовательном решении задачи для строк и для столбцов.

Рассмотрим в области

$$D_T = G \times [0 \leq t \leq T], G = [0 \leq x \leq a] \times [0 < y \leq b] \quad (4)$$

уравнение (3) с начальными $T(x, y, 0) = T_0(x, y)$, $(x, y) \in G$ и граничными условиями (2).

Введем в области G сетку узлов

$$\{x^n = n * h_x, n = \overline{0: N}, N * h_x = a, z^m = m * h_z, m = \overline{0: M}, M * h_z = b\},$$

а на отрезке $[0 \leq t \leq T]$ сетку узлов $\overline{\omega_r} = \{t^r = r * \tau, r = \overline{0: K}, K * \tau = T\}$.

Переход от одного слоя к другому совершается в два этапа с шагами 0.5τ . Для составления продольно поперечной схемы введем полуцелый слой $t = t_r + \frac{\tau}{2}$.

Запишем разностную схему ($k = \lambda$):

$$\begin{cases} \frac{\overline{y_{nm}} - y_{nm}}{0.5\tau} = \frac{\lambda_{n+1/2,m}(\overline{y_{n+1,m}} - \overline{y_{nm}}) - \lambda_{n-1/2,m}(\overline{y_{nm}} - \overline{y_{n-1,m}})}{h_x^2} + \frac{\lambda_{n,m+1/2}(y_{n,m-1} - y_{nm}) - \lambda_{n,m-1/2}(y_{nm} - y_{n,m+1})}{h_z^2} \\ \frac{y_{nm}^\wedge - \overline{y_{nm}}}{0.5\tau} = \frac{\lambda_{n+1/2,m}(\overline{y_{n+1,m}} - \overline{y_{nm}}) - \lambda_{n-1/2,m}(\overline{y_{nm}} - \overline{y_{n-1,m}})}{h_x^2} + \frac{\lambda_{n,m+1/2}(y_{n,m-1}^\wedge - y_{nm}^\wedge) - \lambda_{n,m-1/2}(y_{nm}^\wedge - y_{n,m+1}^\wedge)}{h_z^2} \end{cases}$$

Зафиксировав в первом из уравнений m , получим систему уравнений относительно значений $\overline{y_{nm}}$, где $n = \overline{1:N-1}$, состоящую из $N-1$ линейного уравнения. Тогда систему на каждом половинном временном слое можно представить как $N-1$ независимую задачу (для каждого фиксированного m). Аналогично решение второго из уравнений системы на каждом слое $\tau + 1$ представляет собой решение $M - 1$ независимой задачи при фиксированном n .

Каждая из указанных задач является системой линейных уравнений относительно значений сеточной функции по неявному направлению и решается методом прогонки. [3]

По каждому из неявных направлений разностная схема является линейной и может быть записана в следующем виде:

$$A_{nm}\overline{y_{n-1,m}} + B_{nm}\overline{y_{nm}} + C_{nm}\overline{y_{n+1,m}} = F_{nm}, \quad (4)$$

$$\text{где } A_{nm} = \frac{\lambda_{n-1/2,m}}{h_x^2}, \quad B_{nm} = \frac{-\lambda_{n-1/2,m}}{h_x^2} - \frac{\lambda_{n+1/2,m}}{h_x^2} + \frac{1}{0.5\tau}, \quad C_{nm} = \frac{\lambda_{n+1/2,m}}{h_x^2}, \quad F_{nm} = \frac{y_{nm}}{0.5\tau} + f(x_n, z_m) + \frac{\lambda_{n,m+1/2}y_{n,m-1} - \lambda_{n,m+1/2}y_{nm} - \lambda_{n,m-1/2}y_{nm} + \lambda_{n,m-1/2}y_{n,m+1}}{h_z^2}$$

и соответственно:

$$\alpha_{nm}y_{n-1,m}^\wedge + \beta_{nm}y_{nm}^\wedge + \gamma_{nm}y_{n+1,m}^\wedge = -\phi_{nm}, \quad (5)$$

$$\text{Где } \alpha_{nm} = \frac{\lambda_{n-1/2,m}}{h_z^2}, \quad \beta_{nm} = \frac{-\lambda_{n-1/2,m}}{h_z^2} - \frac{\lambda_{n+1/2,m}}{h_z^2} + \frac{1}{0.5\tau}, \quad \gamma_{nm} = \frac{\lambda_{n+1/2,m}}{h_z^2}, \quad \phi_{nm} = \frac{\overline{y_{nm}}}{0.5\tau} + f(x_n, z_m) + \frac{\lambda_{n,m+1/2}\overline{y_{n,m-1}} - \lambda_{n,m+1/2}\overline{y_{nm}} - \lambda_{n,m-1/2}\overline{y_{nm}} + \lambda_{n,m-1/2}\overline{y_{n,m+1}}}{h_x^2}.$$

После очередного перехода со слоя τ на слой $\tau+1$ запоминаем значения сеточной функции. Решение задачи продолжается до тех пор, пока не будет выполнено условие:

$$\max \left[\frac{y_{nm}^\wedge - \overline{y_{nm}}}{y_{nm}^\wedge} \right] < \varepsilon$$

Решение вероятностным методом. В качестве примера был взят метод Монте-Карло, основанный на случайном блуждании.

Основной составляющей частью решения дифференциальных уравнение методом Монте-Карло является случайное блуждание. [4] Обычно процесс случайного блуждания моделируется на решетке, вписанной в некоторую область G так, что в каждый момент времени происходит «перескок» броуновской частицы из одного узла в соседний.

В классическом случайном блуждании величина шага и траектории фиксируется заранее. Такой процесс называется фиксированным случайным блужданием. Процесс фиксированного случайного блуждания обычно реализуется на узловой решетке с постоянным шагом.

Рассмотрим область $G = [0 \leq x \leq a] \times [0 \leq y \leq b]$. Зададим на этой области квадратную сетку Sh с шагом h . Все возникающие при этом узлы можно разделить на граничные и внутренние. Если в данный момент случайно блуждающая частица находится во внутренней точке, то она имеет равную вероятность перейти в любую из 4 соседних точек. Выбор направлений, в которых будет двигаться частица, производится с помощью случайных чисел.

Блуждание частицы заканчивается в тот момент, когда она перемещается в один из граничных узлов. Очевидно, что с вероятностью, равной 1, блуждание частицы через конечное число шагов закончится на границе.

При решении задачи стационарной теплопроводности температура внутренней точки определяется осреднением N температуры граничных точек, достигнутых беспорядочно блуждающими частицами.

$$T(x, z) = \frac{1}{N} \sum_{j=1}^N T_{\omega}(j) \quad (7)$$

Если в теле имеется источник объемного тепла, то формула принимает вид:

$$T(x, z) = \frac{1}{N} \sum_{j=1}^N T_{\omega}(j) + \left[\frac{Qh^2}{4k} \right] \frac{1}{N} \sum_{j=1}^N M_j, \quad (8)$$

где Q – мощность тепловыделения на единицу объема, k – коэффициент теплопроводности, M_j – количество шагов, потребовавшееся j – случайно блуждающей частице для достижения границы из точки (x, z) .

Тогда для решаемой задачи имеем:

$$T(x, z) = u_0 + \left[\frac{Qh^2}{4k} \right] \frac{1}{N} \sum_{j=1}^N M_j \quad (9)$$

Экспериментальная часть. Были разработаны программы, реализующие оба описанных метода. Задача решалась со следующими параметрами:

$$\begin{aligned} u_0 &= 300K \\ a &= b = 10\text{см} \\ f(x, z) &= f_0 e^{\beta(x-a/2)^2(z-b/2)^2}, \text{ где } f_0 = 30, \beta = 0.0073 \end{aligned}$$

Для разностного метода были взяты следующие параметры: $h_x = h_z = \tau = 0.2$. Для вероятностного: $h = 0.2$, количество частиц, выходящих из каждого узла = 1000.

Решение вычислялось на ПК со следующими характеристиками: процессор – AMD Ryzen 7 3700U with Radeon Vega Mobile Gfx 2.30 GHz; объем ОЗУ — 8GB; операционная система — Windows 10 64-bit.

На рисунках 1 — 4 изображены примеры решений задачи разностным и вероятностным методом.

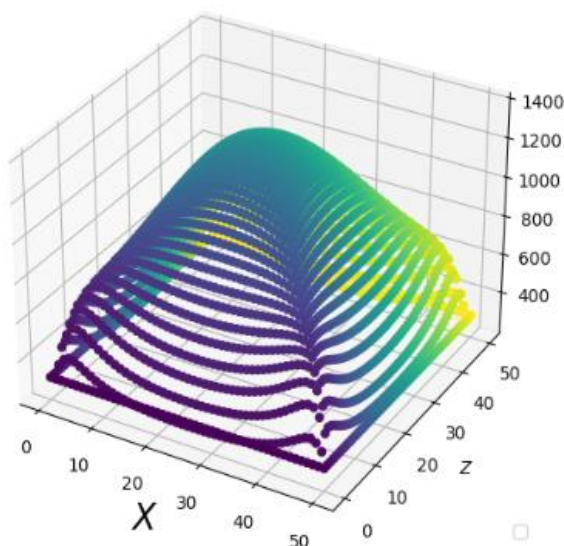


Рис 1. Разностный метод (а)

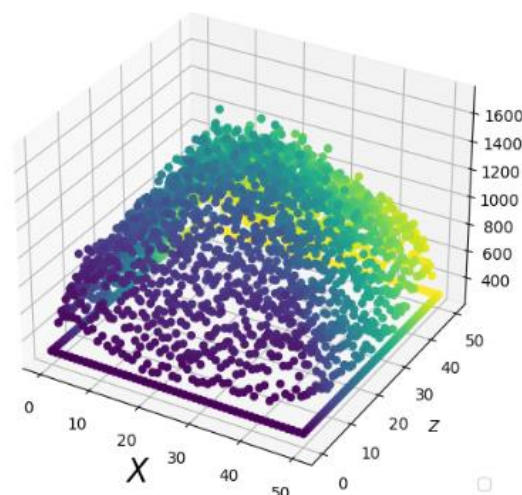


Рис 2. Вероятностный метод (а)

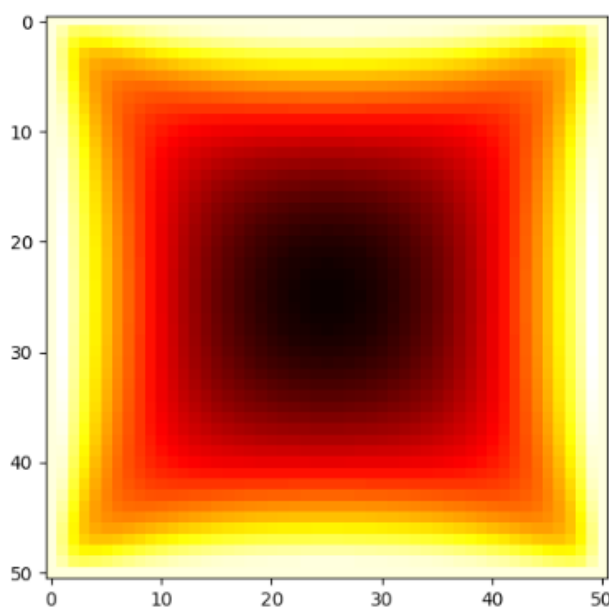


Рис 3. Разностный метод (в)

Рис 4. Вероятностный метод (в)

При шаге $h = 0.2$ оба алгоритма работают быстро, пример разностный находит решение за 120 секунд, а вероятностный — за 20 секунд. Однако, уже при шаге $h=0.1$ вероятностный метод работает значительно медленнее, так разностный алгоритм находит решение за 420 секунд, а вероятностный — за 3245 секунд.

По приведенным примерам можно заметить, что разностное решение с применением продольно-поперечной схемы дает более точный результат при том же шаге. При уменьшении шага этот алгоритм превосходит вероятностный не только в точности, то и в скорости.

У вероятностного метода есть свое преимущество — он позволяет находить результат в одной точке без расчета всего поля температур. Разностному методу для решения той же задачи необходимо было бы рассчитать все поле температур.

Разностный метод является достаточно сложным для реализации, в то время как вероятностный требует значительно меньше затрат на реализацию. При этом, вероятностный метод является более универсальным и не требует значительных доработок при изменении условия задачи. Разностный метод потребовал бы дополнительного исследования и модификации программы при изменениях условия задачи.

Выводы. Исходя из полученных результатов, можно сделать вывод, что при небольшом шаге разностный метод, основанный на продольно-поперечной схеме, работает быстрее и точнее, чем вероятностный метод, основанный на фиксированных случайных блужданиях.

Обы метода с заданной точностью решили задачу, поэтому их можно применять для решения задач подобного типа. При выборе метода для решения задачи, необходимо учитывать, что вероятностный метод требует меньше ресурсов для реализации, в то время как разностный метод является достаточно сложным. Также не стоит забывать о том, что вероятностный метод гораздо универсальнее и его можно будет переиспользовать на задачах с другими начальными условиями.

Необходимо также отметить, что задача, на которой проводились опыты, является достаточно простой, что дает некоторые преимущества разностному методу. Поэтому, в случае усложнения условий задачи, время работы разностного метода может отличаться.

Список литературы

1. Самарский, А.А. Введение в теорию разностных схем [Текст] / А.А. Самарский. – Москва: Наука, 1971. – 552 с.
2. J. Douglas. A general formulation of alternating direction methods [Текст] / J. Douglas, J. E. Gunn. – Numerische Mathematik, 1964. – 453 с.
3. S. Wray. Alternating direction implicit finite difference methods for the heat equation on general domains in two and three dimensions [Текст] / Диссертация. / Steven Wray. – Golden, Colorado: Colorado School of Mines. – 95 с.
4. Кузнецов, В. Ф. Решение задач теплопроводности методом Монте-Карло [Текст] / В.Ф. Кузнецов. – Москва: Ордена Ленина институт атомной энергии им. И.В. Курчатова, 1973. – 21 с.
5. Бусленко Н.П. Метод статистических испытаний (Монте-Карло) и его реализация на ЦВМ [Текст] / Н.П. Бусленко, Ю.А Шрейдер. – Москва.: ФИЗМАТЛИТ, 1961. – 228 с.